

РЕШЕНИЕ ЗАДАЧИ КОШИ ДЛЯ УРАВНЕНИЙ ГИДРАВЛИЧЕСКОГО УДАРА В УПРУГОДЕФОРМИРУЕМЫХ ТРУБАХ

Проблема гидроудара в различных технических устройствах продолжает привлекать внимание исследователей. Так, в работе [1] модель гидроудара Н. Е. Жуковского обобщается с учетом нелинейности и трения в квазистационарной постановке, гидроудар вызывается изменением режима течения жидкости на одном из концов трубопровода и рассчитывается методом последовательных приближений. В [2] рассмотрено движение сжимаемой ньютоновской вязкой жидкости в упругой оболочке с учетом ее инерционных свойств. При давлениях гидроудара, меньших 100 МПа, уравнение состояния для воды в форме Тэга может быть линеаризовано [3]. В [4] в рамках модели Н. Е. Жуковского рассматривается гидроудар в системах охлаждения, обусловленный действием на систему подвижной распределенной нагрузки и массовых сил инерции. Методом выделения разрыва подвижной распределенной нагрузки (т. е. рассмотрением условий сохранения массы и импульса на разрыве) в [4] построено аналитическое решение в линейном приближении. В данной работе показано, что такой подход применим лишь при дозвуковых режимах движения подвижной нагрузки. В [5] подчеркивается, что модель гидроудара Н. Е. Жуковского позволила решить ряд таких сложных технических задач, как распространение волн в трубах переменного сечения, в коаксиальных трубах, однако эта теория не может объяснить дисперсию волн, волнообразное изменение давления в окрестности фронта и т. д. К недостаткам модели Н. Е. Жуковского следует отнести и ее незамкнутость, проявляющуюся, например, при переходе через резонанс. В [6] рассмотрены асимптотические решения для резонансных режимов, возникающих в различных технических задачах. В настоящей работе в рамках модели гидроудара Н. Е. Жуковского методом характеристик найдено новое аналитическое решение задачи Коши для уравнений гидравлического удара, вызванного бегущей вдоль оси упругодеформируемой трубы распределенной нагрузкой. Решение в стационарном случае и для линейного резонанса получено точно. Переход через резонанс описан в рамках асимптотического подхода. Проведено сравнительное изучение стационарных и нестационарных решений, а также методов выделения и размазывания разрыва подвижной распределенной нагрузки.

Рассмотрим длинную круглую цилиндрическую трубу, внутри которой течет малосжимаемая идеальная каплеобразная баротропная жидкость (например, вода). Заметим, что изучаемая ниже математическая модель описывает и случай двух коаксиальных труб, когда жидкость циркулирует в образовавшемся зазоре, а подвижная нагрузка бежит по внутренней поверхности внутренней трубы [4] или по наружной поверхности наружной трубы.

Поведение жидкости в подобных технических устройствах описывается в гидравлическом приближении следующей системой уравнений [4]:

$$(1) \quad \frac{\partial \rho F}{\partial t} + \frac{\partial \rho u F}{\partial x} = 0;$$

$$(2) \quad \frac{\partial \rho u F}{\partial t} + \frac{\partial}{\partial x} [\rho u^2 F + pF] = p \frac{\partial F}{\partial x}, \quad (p + B)/\rho^m = \text{const},$$

$$F = F_0 - A_1 P + A_2 p.$$

Здесь ρ , p и u — средние плотность, давление и скорость жидкости в фиксированном сечении канала с неподвижной координатой x ; F — площадь канала; P — подвижная распределенная нагрузка; t — время; B и m — константы в условии баротропности жидкости; F_0 , A_1 , A_2 — константы в уравнении для площади канала (формулы для расчета этих констант для системы коаксиальных труб приведены в [4]).

Переходя от неподвижной системы координат x к подвижной X , движущейся со скоростью $V(t)$, с помощью соотношений

$$(3) \quad x = X + \xi(t), \quad \xi(t) = \int_0^t V(t) dt, \quad u = \omega + V(t)$$

и проводя линеаризацию, уравнения в частных производных гиперболического типа (1), (2) можно представить в характеристической форме

$$(4) \quad \left[\frac{\partial}{\partial t} + (-V \pm c_0) \frac{\partial}{\partial X} \right] \left(\omega + V \pm \frac{P}{\rho_0 c_0} \mp c_0 \frac{A_1}{F_0} P \right) = -f(X, t),$$

$$f(X, t) = c_0^2 \frac{A_1}{F_0} \frac{\partial P(X, t)}{\partial X},$$

где ω — средняя скорость жидкости в подвижной системе координат X ; ρ_0 — линеаризованное значение плотности жидкости; c_0 — линеаризованное значение скорости звука в жидкости в канале с упругими стенками (или скорости гидроудара по Н. Е. Жуковскому).

Общее решение задачи Коши для системы (4) при известных начальных значениях $p(X, 0)$ и $\omega(X, 0)$ имеет вид

$$(5) \quad \omega(X, t) = -V(t) + V(0) + \frac{1}{2} \left\{ \omega(\tau, 0) + \omega(\eta, 0) + \frac{p(\tau, 0) + p(\eta, 0)}{\rho_0 c_0} + \right.$$

$$+ c_0 \frac{A_1}{F_0} [P(\eta, 0) - P(\tau, 0)] - \int_0^t [f(-\xi(z) - c_0 z + \eta, z) +$$

$$\left. + f(-\xi(z) + c_0 z + \tau, z)] dz \right\};$$

$$(6) \quad p(X, t) = \frac{\rho_0 c_0}{2} \left\{ \omega(\tau, 0) - \omega(\eta, 0) + \frac{p(\tau, 0) - p(\eta, 0)}{\rho_0 c_0} + \right.$$

$$+ c_0 \frac{A_1}{F_0} [2P(X, t) - P(\tau, 0) - P(\eta, 0)] +$$

$$\left. + \int_0^t [f(-\xi(z) - c_0 z + \eta, z) - f(-\xi(z) + c_0 z + \tau, z)] dz \right\},$$

$$\tau = X + \xi(t) - c_0 t, \quad \eta = X + \xi(t) + c_0 t.$$

Решение (5), (6) описывает как свободные, так и вынужденные колебания жидкости в канале с упругими стенками. Вынужденные колебания возникают под действием подвижной нагрузки P на канал с жидкостью. Свободные колебания, обусловленные начальными условиями, в данной работе не исследуются. Будем полагать также, что нагрузку P можно представить как $P(X, t) = P_0(t)\varphi(X)$.

Рассмотрим ряд режимов движения нагрузки P , позволяющих выявить отличия стационарных решений от нестационарных. Для первых двух режимов (стационарный режим и линейный резонанс) квадратуры решения (5), (6) могут быть вычислены точно, для общего случая движения нагрузки P получить решения в конечном виде можно лишь асимптотически.

1. Стационарный режим получаем при $P_0(t) = \text{const}$, $V(t) = V_0 = \text{const}$ и $V_0 \neq c_0$ ($M = V_0/c_0 \neq 1$) для $t > 0$. Вычислим, например, стационарное решение при

$$(7) \quad V(t) = V_0 \theta(t), \quad P(X, t) = R \theta(t) \varphi(X) = \theta(t) P_c(X),$$

где $\theta(t) = 1$ при $t \geq 0$; $\theta(t) = 0$ при $t < 0$. В результате точного вычисления интегралов в (5), (6) находим решение для вынужденных колебаний в виде

$$\omega(X, t) = -V_0 + \frac{1}{2} c_0 \frac{A_1}{F_0} \left[\frac{2M^2}{M^2 - 1} P_c(X) - \frac{P_c(\tau)}{M - 1} - \frac{P_c(\eta)}{M + 1} \right],$$

$$p(X, t) = \frac{\rho_0 c_0^2}{2} \frac{A_1}{F_0} \left[\frac{2M^2}{M^2 - 1} P_c(X) - \frac{P_c(\tau)}{M - 1} + \frac{P_c(\eta)}{M + 1} \right], \quad M = V_0/c_0,$$

откуда следует, что стационарное решение зависит от стационарной нагрузки P_c и скорости ее движения. При $M = 1$ решение становится сингулярным, поэтому с физической точки зрения его надо отбросить и можно утверждать, что при $M = 1$ стационарных решений нет (при $M = 1$ имеет место линейный резонанс, рассмотренный ниже). Зададим функцию $\varphi(X)$ в виде размазанной ступеньки с помощью выражения

$$\varphi(X) = \frac{1}{2} \left[1 - \operatorname{erf} \left(X \sqrt{\frac{n}{2}} \right) \right], \quad \operatorname{erf}(z) = \frac{2}{\sqrt{\pi}} \int_0^z \exp(-y^2) dy.$$

При $n \rightarrow \infty$ $\varphi(X) \rightarrow \theta(-X)$, т. е. $\varphi(X)$ переходит в функцию-ступеньку, а стационарное решение этого пункта — в регулярное обобщенное автомодельное решение, для которого на рис. 1 представлены волновые картины и распределения давления p , отнесенные к $p_c = \rho_0 c_0^2 (A_1/F_0) R$ для дозвукового ($a, M < 1$) и сверхзвукового ($b, M > 1$) режимов движения нагрузки P . Предельный переход $n \rightarrow \infty$ означает переход к методу выделения разрыва нагрузки P [4]. Этот переход корректен как с математической точки зрения (приводит к регулярным обобщенным функциям), так и с физической (решения конечны). Заметим, что значение n не влияет при этом на максимум решения. Поэтому метод размазывания разрыва нагрузки P (метод сквозного счета), для которого n конечно, дает при расчете максимумов гидродинамических параметров для обобщенного автомодельного решения тот же результат, что и метод выделения разрыва нагрузки P ($n \rightarrow \infty$). При достаточно больших t фронты волн, распространяющиеся по характеристикам I и II семейств, убегают достаточно далеко и в окрестности разрыва P_c (сечение $X = 0$) имеются стационарные решения, рассмотренные в [7].

Задавая условия, аналогичные (7), можно получить и другие стационарные решения.

2. Линейный резонанс имеет место при $P_0(t) = \text{const}$, $V(t) = V_0 = \text{const}$ и $V_0 = c_0$ ($M = 1$) для $t > 0$. Для вычисления решения в этом случае воспользуемся, как и выше, условиями (7), полагая в них $V_0 = c_0$. Вычисляя точно интегралы в (5), (6), для вынужденных колебаний при линейном резонансе находим решение

$$\omega(X, t) = c_0 \left\{ -1 - \frac{A_1}{2F_0} \left[\frac{\partial P_c}{\partial X} c_0 t + \frac{P_c(\eta) - P_c(X)}{2} \right] \right\},$$

$$p(X, t) = \frac{\rho_0 c_0^2}{2} \frac{A_1}{F_0} \left\{ \frac{3}{2} P_c(X) + \frac{1}{2} P_c(\eta) - \frac{\partial P_c}{\partial X} c_0 t \right\},$$

которое в отличие от полученного выше содержит нестационарный член, не равный нулю там, где $\partial P_c / \partial X \neq 0$. В этих точках параметры растут линейно по времени и при $t \rightarrow \infty$ $p \rightarrow \infty$, $\omega \rightarrow \infty$ (как видно из численных расчетов для нелинейной модели, гидродинамические параметры оказываются ограниченными при нелинейном резонансе).

Вычисляя производную $\frac{\partial P_c}{\partial X} = -R \sqrt{\frac{n}{2\pi}} \times \exp\left(-\frac{n}{2} X^2\right)$, видим, что нестационарная часть найденного решения пропорциональна корню квадратному из номера δ -образной последовательности n , т. е. зависит от того, как размазана нагрузка P . Поскольку

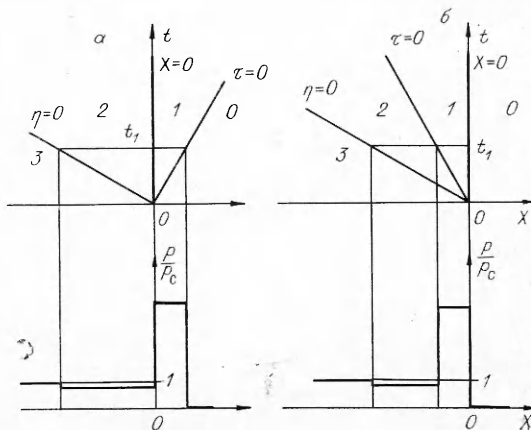


Рис. 1

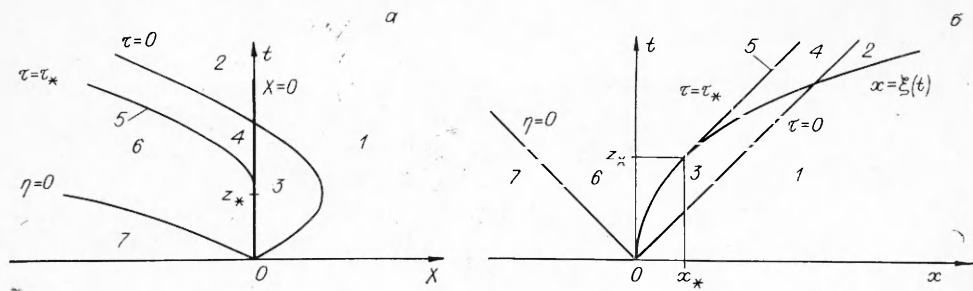


Рис. 2

одномерная модель не дает никакой информации о размазывании, она является незамкнутой по существу и для своего замыкания требует данных эксперимента или пространственного расчета. Ясно, что для физически реальных движений n конечно. Поэтому любой метод сквозного счета есть метод размазывания разрыва нагрузки P (для метода выделения $n = \infty$). С математической точки зрения предельный переход $n \rightarrow \infty$ корректен, ибо приводит к сингулярным обобщенным решениям, с физической же точки зрения некорректен, ибо приводит к бесконечным давлениям гидроудара, что противоречит физическому смыслу и эксперименту. Значит, рассчитать явление линейного резонанса методом выделения разрыва нагрузки P нельзя. Для расчета же линейного резонанса методом размазывания разрыва нагрузки P необходимо знать n . Взяв в качестве исходных соотношения, отличные от (7), можно получить и другие решения для линейного резонанса.

3. Рассмотрим общий случай движения нагрузки P . На закон движения $\xi(t)$ наложим естественное ограничение $W > 0$ — движение нагрузки P считаем ускоренным. При таком ограничении на $\xi(t)$ характеристики I семейства ($\tau = \text{const}$) пересекутся с $X = 0$ в общем случае дважды, а характеристики II семейства ($\eta = \text{const}$) — один раз. Вычислять асимптотику интегралов в решении (5), (6) будем при $n \rightarrow \infty$, когда фронт нагрузки P переходит в разрыв. При этом стационарными точками при вычислении интегралов методом Лапласа являются точки пересечения характеристик I и II семейств с законом движения ($X = 0$) разрыва нагрузки P . Полученное решение имеет обобщенную структуру (кусочно-непрерывную). В зависимостях, приводимых ниже для соответствующих областей I—7 (рис. 2, а), знак равенства заменен знаком асимптотического соответствия, а экспоненциально малые члены, стремящиеся к нулю при $n \rightarrow \infty$, отброшены:

$$1) \tau > 0 \cap X > 0:$$

$$\omega(X, t) \sim -V(t), p(X, t) \sim 0;$$

$$2) \tau > 0 \cap X < 0:$$

$$\omega(X, t) \sim -V(t) + \frac{1}{2} c_0 \frac{A_1}{F_0} \left[\frac{P_0(z_1)}{M(z_1) - 1} + \frac{P_0(z_2)}{M(z_2) + 1} \right],$$

$$p(X, t) \sim \rho_0 c_0^2 \frac{A_1}{F_0} \left\{ P_0(t) + \frac{1}{2} \left[\frac{P_0(z_1)}{M(z_1) - 1} - \frac{P_0(z_2)}{M(z_2) + 1} \right] \right\};$$

$$3) \tau_* > \tau > 0 \cap X > 0:$$

$$\omega(X, t) \sim -V(t) + \frac{1}{2} c_0 \frac{A_1}{F_0} \frac{P_0(z_3)}{1 - M(z_3)}, \quad p(X, t) \sim \frac{1}{2} \rho_0 c_0^2 \frac{A_1}{F_0} \frac{P_0(z_3)}{1 - M(z_3)};$$

$$4) \tau_* > \tau > 0 \cap X < 0 \cap t > z_*:$$

$$\omega(X, t) \sim -V(t) + \frac{1}{2} c_0 \frac{A_1}{F_0} \left[\frac{P_0(z_3)}{1 - M(z_3)} + \frac{P_0(z_1)}{M(z_1) - 1} + \frac{P_0(z_2)}{M(z_2) + 1} \right],$$

$$p(X, t) \sim \rho_0 c_0^2 \frac{A_1}{F_0} \left\{ P_0(t) + \frac{1}{2} \left[\frac{P_0(z_3)}{1 - M(z_3)} + \frac{P_0(z_1)}{M(z_1) - 1} - \frac{P_0(z_2)}{M(z_2) + 1} \right] \right\};$$

5) $\tau = \tau_* \cap t > z_*$:

$$\omega(X, t) \sim -V(t) + \frac{1}{2} c_0 \frac{A_1}{F_0} \left[P_0(z_*) \sqrt[4]{n} \sqrt{\frac{c_0^2}{W(z_*)}} 1,2163 + \frac{P_0(z_2)}{M(z_2) + 1} \right],$$

$$p(X, t) \sim \rho_0 c_0^2 \frac{A_1}{F_0} \left\{ P_0(t) + \frac{1}{2} \left[P_0(z_*) \sqrt[4]{n} \sqrt{\frac{c_0^2}{W(z_*)}} 1,2163 - \frac{P_0(z_2)}{M(z_2) + 1} \right] \right\};$$

6) $(0 < \eta < \eta_* \cap X < 0) \cup (\eta > \eta_* \cap \tau < \tau_*)$:

$$\omega(X, t) \sim -V(t) + \frac{1}{2} c_0 \frac{A_1}{F_0} \frac{P_0(z_2)}{M(z_2) + 1},$$

$$p(X, t) \sim \rho_0 c_0^2 \frac{A_1}{F_0} \left[P_0(t) - \frac{1}{2} \frac{P_0(z_2)}{M(z_2) + 1} \right];$$

7) $\eta < 0$:

$$\omega(X, t) \sim -V(t), \quad p(X, t) \sim \rho_0 c_0^2 \frac{A_1}{F_0} P_0(t).$$

Здесь $M(z) = V(z)/c_0$;

$$(8) \quad z_1 = z_1(\tau), \quad z_2 = z_2(\eta), \quad z_3 = z_3(\tau);$$

z_1 и z_3 — большие и меньшие значения времени пересечения характеристики I семейства с $X = 0$; z_2 — время пересечения характеристики II семейства с $X = 0$.

При $n \rightarrow \infty$ полученное обобщенное решение переходит в сингулярное обобщенное решение (см. п. 2). На характеристике $\tau = \tau_*$ при $t > z_*$ значения гидродинамических параметров сингулярны. Поэтому методом выделения разрыва нагрузки P рассчитать переход через $M = 1$ и последующее движение не удастся. Для расчета перехода через $M = 1$ методом размазывания разрыва нагрузки P необходимо определить значение n . Это можно сделать на основе сравнения расчета по одномерной модели с результатами пространственного расчета или эксперимента, т. е. на основе решения задачи параметрической идентификации для данной механической системы.

Для конечной по длине системы необходим учет левого и правого граничных условий. В этом случае решение п. 3 надо записать с помощью соотношений (3) в неподвижной системе координат (рис. 2, б) и модифицировать так, чтобы оно содержало произвольные функции τ и η для удовлетворения правого и левого граничных условий.

Из решения п. 3 при конечном n следует, что на характеристике $\tau = \tau_*$ при $t > z_*$ гидродинамические параметры зависят от ускорения в точке $(0, z_*)$ плоскости (X, t) рис. 2, а. Для прочих областей решение зависит лишь от нагрузки P и ее относительной скорости $M = V/c_0$, как и для стационарных или регулярных обобщенных автомодельных решений. Поэтому в [8] они названы квазиавтомодельными. По существу это решения, полученные методом выделения разрыва нагрузки P ($n = \infty$). Квазиавтомодельные решения при $M < 1$ являются предельными (дают максимальные давления гидроудара) по отношению к реальным движениям нагрузки P . Сравнивая формулы п. 1 и 3 для области 3, видим, что в области 3 на соответствующих характеристиках $\tau = \text{const}$ значения p и ω будут те же, что и для регулярных обобщенных автомодельных решений при значениях P и V в момент первого пересечения характеристики I семейства и закона движения нагрузки P ($X = 0$).

Сравнивая решения п. 2 и 3, видим, что при конечном n максимальные давления (в области 5) будут конечны в любой момент времени для ускоренного движения нагрузки P ($W(z_*) \neq 0$) и конечного $P_0(z_*)$, в то время как при линейном резонансе и конечном n для $t \rightarrow \infty$ $p \rightarrow \infty$. Зависимость от n при линейном резонансе (в формулы п. 2 входит \sqrt{n})

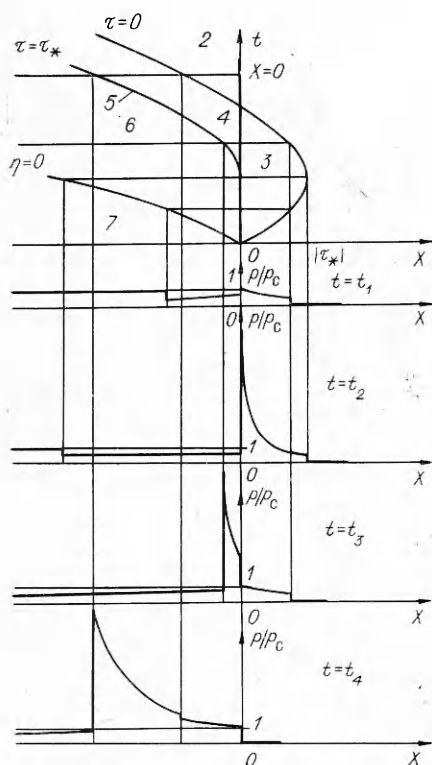


Рис. 3

На рис. 3 представлены распределение давления жидкости в подвижной системе координат для $t_1 = \frac{c_0}{2W} (M = \frac{1}{2})$, $t_2 = \frac{c_0}{W} (M = 1)$, $t_3 = \frac{3}{2} \frac{c_0}{W} (M = \frac{3}{2})$, $t_4 = \frac{5}{2} \frac{c_0}{W} (M = \frac{5}{2})$ и волновая конфигурация к асимптотическому решению для равноускоренного движения стационарной нагрузки P : 1—7 — области с непрерывным распределением давления и скорости жидкости, $\tau_* = -c_0^2/2W$.

Вышеизложенные аналитические результаты могут быть использованы при отладке и тестировании численных алгоритмов и позволяют, кроме того, понять некоторые особенности численных решений одномерной задачи гидроудара, возникающего при движении разрыва нагрузки P .

В заключение следует отметить, что проблема незамкнутости возникает лишь при одномерном описании явления гидроудара и что одномерная модель дает только одно значение критической скорости, при которой имеет место резонанс.

ЛИТЕРАТУРА

1. Кочина Н. Н. О неустановившемся движении вязкой жидкости в длинной трубе // Изв. АН СССР. МЖГ. — 1980. — № 6.
2. Вольмир А. С. Оболочки в потоке жидкости и газа // Задачи гидроупругости. — М.: Наука, 1979.
3. Яковлев Ю. С. Гидродинамика взрыва. — Л.: Судпромиздат, 1961.
4. Алдошин Г. Т. Гидравлический удар в деформируемом трубопроводе // Вести. ЛГУ. Математика. Механика. Астрономия. — 1961. — № 19, вып. 4.
5. Мнев Е. Н., Перцев А. К. Гидроупругость оболочек. — Л.: Судостроение, 1970.
6. Слепян Л. И. Нестационарные упругие волны. — Л.: Судостроение, 1972.
7. Хребтов В. А. О неустановившемся движении малосжимаемой жидкости в канале с упругими стенками. — Л., 1982. — Деп. в ЦНИИ «Румб» 19.04.83, № ДР — 1649.
8. Хребтов В. А. Об одном неавтономном решении. — Л., 1982. — Деп. в ЦНИИ «Румб» 19.04.83, № ДР — 1650.

г. Ленинград

Поступила 9/II 1988 г.,
в окончательном варианте — 27/IV 1988 г.

более сильная, чем при ускоренном переходе через $M = 1$ (в формулы для области 5 п. 3 входит $\sqrt[4]{n}$).

В общем случае зависимости (8) можно получить лишь численно (или графически, что существенно проще) на основе решения нелинейных уравнений $\xi(z) = c_0 z + \tau$, $\xi(z) = -c_0 z + \eta$, точное решение которых можно найти, например, в случае равноускоренного движения разрыва нагрузки P с законом движения $\xi = Wt^2/2$:

$$z_1 = \frac{c_0}{W} + \sqrt{\left(\frac{c_0}{W}\right)^2 + \frac{2\tau}{W}},$$

$$z_2 = -\frac{c_0}{W} + \sqrt{\left(\frac{c_0}{W}\right)^2 + \frac{2\eta}{W}},$$

$$z_3 = \frac{c_0}{W} - \sqrt{\left(\frac{c_0}{W}\right)^2 + \frac{2\tau}{W}}.$$

Полагая $P(X, t) = R\theta(t)\varphi(X)$, получим обозримое решение (рис. 3), которое легко анализируется методами математического анализа. При $n \rightarrow \infty$ $\varphi(X) \rightarrow \theta(-X)$ и рассматриваемое решение будет совпадать с решением [8], полученным методом выделения разрыва нагрузки P при $M < 1$.